

**МОДЕЛИРОВАНИЕ РАССЕЙВАНИЯ ЗАРЯЖЕННЫХ ЧАСТИЦ  
В ЦЕНТРАЛЬНОМ ПОЛЕ СИЛ С ИСПОЛЬЗОВАНИЕМ МАТЕМАТИЧЕСКОГО  
ПАКЕТА MATHCAD**

*Макалада MathCAD математикалык пакетинин жардамында альфа – бөлүкчөнүн кыймылы сандык изилденген.*

*В работе численно исследовано движение альфа-частицы с помощью математического пакета MathCAD.*

*In article the various aspects application of the computers in educational process are discussed.*

В настоящее время важным направлением применения компьютера стало предварительное моделирование сложных натуральных экспериментов. Цель таких исследований – оптимизация параметров будущей экспериментальной установки, выбор режимов ее работы, предварительная оценка ожидаемых эффектов. Ярким примером здесь может служить цикл работ по моделированию опыта Резерфорда по рассеиванию  $\alpha$ -частиц.

Проведем численное исследование движения альфа-частицы ( $m_\alpha = 6,67 \cdot 10^{-27}$  кг;  $q_\alpha = +2e$ ,  $e = 1,6 \cdot 10^{-19}$  Кл) в окрестности ядра атома золота ( $m_{Au} = 3,27 \cdot 10^{-25}$  кг;  $q_{Au} = +79e$ ) (ядро атома мишени в первом эксперименте Резерфорда по рассеиванию). Так как  $m_\alpha \ll m_{Au}$ , будем принимать при численных расчетах, что  $m \cong m_{Au}$ , и рассматривать ядро атома золота в акте рассеяния как неподвижное. Поскольку альфа-частица не проникает в ядро, то можно считать, что взаимодействие между частицей и ядром описывается законом Кулона /1/:

$$\vec{F} = \frac{1}{4\pi\epsilon_0} \frac{qQ}{|\vec{R}|^3} \vec{R}, \quad (1)$$

где  $\epsilon_0$  – диэлектрическая проницаемость вакуума ( $\epsilon_0 = 8,85 \cdot 10^{-12}$  Ф/м);  $q, Q$  – заряды рассеиваемой частицы и кулоновского центра соответственно;  $\vec{R}$  – радиус-вектор заряда  $q$ .

Следовательно, система уравнений движения альфа-частицы в прямоугольной системе координат, центр которой совпадает с зарядом  $Q$ , будет иметь следующий вид/2-4/:

$$\begin{cases} m \frac{d^2 x}{dt^2} = \frac{1}{4\pi\epsilon_0} \frac{qQ}{(x^2 + y^2)^{3/2}} x \\ m \frac{d^2 y}{dt^2} = \frac{1}{4\pi\epsilon_0} \frac{qQ}{(x^2 + y^2)^{3/2}} y \end{cases} \quad (2)$$

Для дальнейшего численного решения удобно записать (2) в виде системы четырех уравнений первого порядка:

$$\begin{cases} v_x = \frac{dx}{dt} \\ m \frac{dv_x}{dt} = \frac{1}{4\pi\epsilon_0} \frac{qQ}{(x^2 + y^2)^{3/2}} x \\ v_y = \frac{dy}{dt} \\ m \frac{dv_y}{dt} = \frac{1}{4\pi\epsilon_0} \frac{qQ}{(x^2 + y^2)^{3/2}} y \end{cases} \quad (3)$$

Для однозначного вычисления траектории движения рассеиваемой частицы необходимо также задать следующие начальные условия:

$$x(0), y(0), v_x(0), v_y(0).$$

Для численных расчетов оказывается удобным записать систему уравнений (3) в безразмерных переменных  $\tilde{t}, \tilde{x}, \tilde{y}, \tilde{v}_x, \tilde{v}_y, \tilde{m}, \tilde{q}, \tilde{Q}$ , связанных с размерными следующим образом:

$$\tilde{t} = \frac{t}{T}, 150 - \tilde{x} = \frac{x}{a}, \tilde{y} = \frac{y}{a}, \tilde{v}_x = \frac{v_x}{(a/T)}, \tilde{v}_y = \frac{v_y}{(a/T)}, \tilde{m} = \frac{m}{M}, \tilde{q} = \frac{q}{Q_0}, \tilde{Q} = \frac{Q}{Q_0}, \quad (4)$$

где  $T, a, M, Q_0$  – единицы измерений времени, расстояния, массы и заряда соответственно.

Подставив (4) в (3), найдем

$$\begin{cases} \tilde{v}_x = \frac{d\tilde{x}}{d\tilde{t}} \\ \frac{\tilde{m}}{M} \frac{a}{T^2} \frac{d\tilde{v}_x}{d\tilde{t}} = \frac{Q_0^2}{4\pi\epsilon_0 a^2} \frac{\tilde{q}\tilde{Q}}{(\tilde{x}^2 + \tilde{y}^2)^{3/2}} \tilde{x} \\ \tilde{v}_y = \frac{d\tilde{y}}{d\tilde{t}} \\ \frac{\tilde{m}}{M} \frac{a}{T^2} \frac{d\tilde{v}_y}{d\tilde{t}} = \frac{Q_0^2}{4\pi\epsilon_0 a^2} \frac{\tilde{q}\tilde{Q}}{(\tilde{x}^2 + \tilde{y}^2)^{3/2}} \tilde{y} \end{cases} \quad (5)$$

Оставляя в левых частях уравнения только безразмерные величины, приводим (5) к следующему виду:

$$\begin{cases} \tilde{v}_x = \frac{d\tilde{x}}{d\tilde{t}} \\ \tilde{m} \frac{d\tilde{v}_x}{d\tilde{t}} = K \frac{\tilde{q}\tilde{Q}}{(\tilde{x}^2 + \tilde{y}^2)^{3/2}} \tilde{x} \\ \tilde{v}_y = \frac{d\tilde{y}}{d\tilde{t}} \\ \tilde{m} \frac{d\tilde{v}_y}{d\tilde{t}} = K \frac{\tilde{q}\tilde{Q}}{(\tilde{x}^2 + \tilde{y}^2)^{3/2}} \tilde{y} \end{cases} \quad (6)$$

где

$$K = \frac{Q_0^2 M T^2}{4\pi\epsilon_0 a^3}$$

(7)

Программа, позволяющая решать систему дифференциальных уравнений (ДУ) в пакете MathCAD, будет состоять из следующих блоков:

1. Задание параметров взаимодействующих частиц:

$$q := 2 \quad m := 4 \quad Q := 79$$

2. Задание вектора начальных условий:

$$v_0 := \begin{pmatrix} -10^6 \\ 0.1 \\ 40000 \\ 0 \end{pmatrix}$$

3. Задание вектор-функции, возвращающей значения первых производных:

$$D(t, z) := \begin{pmatrix} z_1 \\ q \cdot \frac{Q \cdot z_0}{m} \\ 1.53 \cdot \frac{\quad}{\left[ (z_0)^2 + (z_2)^2 \right]^{\frac{3}{2}}} \\ z_3 \\ q \cdot \frac{Q \cdot z_2}{m} \\ 1.53 \cdot \frac{\quad}{\left[ (z_0)^2 + (z_2)^2 \right]^{\frac{3}{2}}} \end{pmatrix}$$

4. Решение системы ДУ:

$$N := 2000 \quad g := \text{rkfixed}(v_0, 0, 2 \cdot 10^7, N, D)$$

5. Построение траектории движения:

$$i := 0..N$$

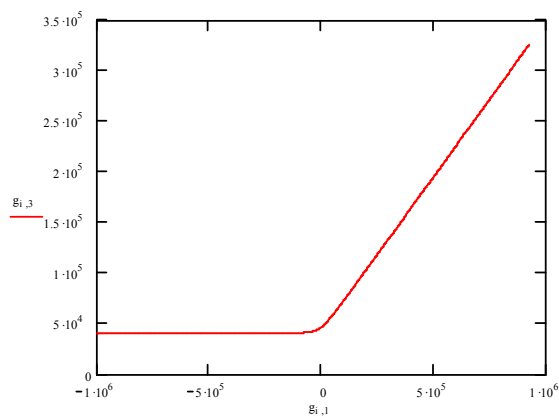


Рис.1. Траектория движения рассеиваемой  $\alpha$ -частицы в окрестности ядра атома золота

5. Вычисление угла между вектором скорости и осью OX:

$$Y_i := \arccos \left[ \frac{(g^{(2)})_i}{\sqrt{[(g^{(2)})_i]^2 + [(g^{(4)})_i]^2}} \right]$$

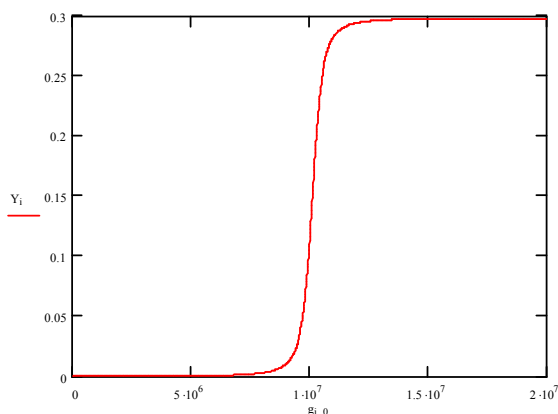


Рис.2. Зависимость угла между вектором скорости и осью OX от времени

Таким образом, на основе разработанных математических пакетов и базовых библиотек моделей-имиджей (при возможности их неограниченного пополнения) для различных областей физики и техники можно проводить на принципах математического моделирования не только демонстрационную, но и исследовательскую работу.

### СПИСОК ЛИТЕРАТУРЫ

1. Очков В.Ф. MatCAD 7.0 PRO для студентов и инженеров. – М.: КомпьютерПресс, 1998.
  2. Самарский А.А. Введение в численные методы. – М.: Высшая школа, 1987.
  3. ЭВМ в курсе общей физики /Под ред. А.Н. Матвеева. – М.: Изд-во МГУ, 1982. – С.15-18.
- Любарский Г.Я., Слабочинский Р.П. Математическое моделирование и эксперимент. – Киев: Наукова думка. 1987. – С.5-7